

ЕСТЕСТВЕННЫЕ ФЛУКТУАЦИИ В СПИНОВОМ ГЕНЕРАТОРЕ (СГ) II. СГ С СЕЛЕКТИВНЫМ ЭЛЕМЕНТОМ В ЦЕПИ ОБРАТНОЙ СВЯЗИ

Л. С. Корниенко, С. Д. Петрова, Р. М. Умарходжаев

В части I проведен анализ естественных флуктуаций в спиновом генераторе с линейной широкополосной цепью обратной связи, характерной для СГ, работающего в качестве квантового магнитометра. При измерении магнитных полей, больших магнитного поля Земли, цепь обратной связи, как правило, избирательна.

В настоящей работе приведены результаты теоретического анализа воздействия естественных флуктуаций в СГ с селективным элементом в цепи обратной связи. Проведено сравнение спектров амплитудных флуктуаций генераторов с инерционной нелинейностью: спинового генератора, молекулярного генератора, твердотельного лазера.

Анализ спинового генератора с селективным элементом в цепи обратной связи проведем в предположении, что рабочее вещество является двухуровневой системой. Тогда СГ описывается системой уравнений Блоха [1], дополненной уравнением цепи обратной связи [2], которое с учетом случайных возмущений имеет вид

$$\ddot{H}_x + 2\delta_k \dot{H}_x + \omega_k^2 = \omega_k^2 k_1 (\dot{M}_y + \xi), \quad (1)$$

где M_y — компонента вектора намагниченности $\dot{M} = (M_x, M_y, M_z)$ рабочего вещества СГ. H_x — поле обратной связи, δ_k и ω_k — ширина полосы пропускания и резонансная частота селективного элемента, k_1 — коэффициент усиления усилителя цепи обратной связи, ξ — шумовая эдс.

Нетрудно показать, что систему уравнений для медленно меняющихся амплитуд, полученную из уравнений СГ, можно привести к уравнениям для квадратичных величин [3], справедливых, в частности, для молекулярного генератора и твердотельного лазера. При решении уравнений СГ рассмотрим два крайних случая:

$$a) \delta_2 \ll \delta_k, \quad b) \delta_2 \gg \delta_k, \quad (2)$$

где δ_2 — обратная величина поперечного времени релаксации рабочего вещества СГ.

a) Неравенство $\delta_2 \ll \delta_k$ характерно для пучковых молекулярных генераторов [4]. В СГ с селективным элементом в цепи обратной связи неравенство $\delta_2 \ll \delta_k$ выбором рабочего вещества и параметров селективного элемента всегда выполняется в эксперименте. При условии $\delta_2 \ll \delta_k$, согласно [5], уравнения для СГ сводятся к уравнениям (4), (5) (см. часть I). Спектральные характеристики в этом случае описываются ранее полученными выражениями (6)–(8) части I, где фактор насыщения имеет вид

$$z = \left(\frac{\omega_k^2 k_1}{4} \frac{\delta_k}{\delta_z^2 + \Delta\omega_k^2} \right) \frac{\gamma\rho_0}{\delta_x}, \quad (3)$$

$\Delta\omega_k = \omega_k - \omega$, γ — гиromагнитное отношение, ρ_0 — стационарная амплитуда генерации.

Выражение для спектральной плотности флуктуаций амплитуды генерации при равенстве продольного и поперечного времен релаксации совпадает с выражением для спектральной плотности флуктуаций поляризации молекулярного генератора, обусловленной лишь тепловыми шумами резонатора [5].

б) Условие $\delta_z >> \delta_k$, согласно [5], позволяет привести уравнения СГ к следующему виду:

$$\begin{aligned} \dot{H} + H \left(\delta_k - \frac{\omega_k^2 k_1}{4} \frac{\delta_2}{\delta_z^2 + \Delta\omega_z^2} \gamma M_z \right) &= E_{III}, \\ \dot{M}_z + M_z \left(\delta_1 + \frac{\gamma^2 H^2}{4} \frac{\delta_2}{\delta_z^2 + \Delta\omega_z^2} \right) &= \delta_1 M_0, \end{aligned} \quad (4)$$

где $H_x = H \cos(\omega t + \phi)$.

Уравнения (4) совпадают по форме с балансными уравнениями одномодового твердотельного лазера (ТТЛ) [3]. Спектральная плотность флуктуаций амплитуды описывается выражением

$$S_{H\sim}(\Omega) = \frac{1}{\delta_1^2} \frac{(Z^2 + 1)^2 + \frac{\Omega^2}{\delta_1^2}}{\left(2Gz^2 - \frac{\Omega^2}{\delta_1^2}\right)^2 + \frac{\Omega^2}{\delta_1^2}(1+z^2)^2} S_{E_{III}}, \quad (5)$$

где $Z^2 = (\gamma H_1)^2 / (\delta_1 \delta)$ — фактор насыщения, $\delta = \delta_2 / (\delta_2^2 + \Delta\omega^2)$, $G = \delta_k / \delta_1$.

Анализ (5) в отличие от [6] проведем для случая произвольных значений G , поскольку большой выбор рабочих веществ и параметров селективного элемента позволяет реализовать спиновый генератор практически с любой величиной параметра G .

При условии $G < G_{rp}^{\max} = 2(\sqrt{2} - 1)$ спектральные характеристики $S_{H\sim}(\Omega)$ — монотонно убывающие функции частоты Ω . Если $G > G_{rp}^{\max} = 2(\sqrt{2} - 1)$, то для значений фактора насыщения, удовлетворяющих неравенству

$$\begin{aligned} G(1 + \sqrt{2}) - 1 - \left(G(1 + \sqrt{2}) - 1 \right)^2 - 1 &< z^2 < G(1 + \sqrt{2}) \\ -1 + \left(G(1 + \sqrt{2}) - 1 \right)^2 - 1 \end{aligned} \quad (6)$$

в спектре амплитудных флуктуаций, существует максимум на частоте $\Omega^{\max}(G, z)$

$$\Omega^{\max}(G, z) = \delta_1 \sqrt{-(1+z^2)^2 + \sqrt{4G^2 z^4 + 4Gz^2(1+z^2)^2}}. \quad (7)$$

Величина $\Omega^{\max}(G, z)$ при фиксированном G с ростом z возрастает, достигая максимального значения, а затем уменьшается до нуля. Высота максимума $S_{H\sim}(\Omega^{\max})$ монотонно убывает с ростом Ω .

Спектры амплитудных флуктуаций для различных значений G и z представлены на рис. 1. Из (6) и (7), а также рис. 1 следует, что вид спектра амплитудных флуктуаций существенно зависит от соотношения параметров G и z . От соотношения величин G и z зависит также вид переходного процесса установления детерминированного режима.

Если $G < G_{rp}^{\text{кол}} = 1/2$, то установление стационарной амплитуды генерации происходит апериодически. При выполнении условия $G > G_{rp}^{\text{кол}} = 1/2$ и

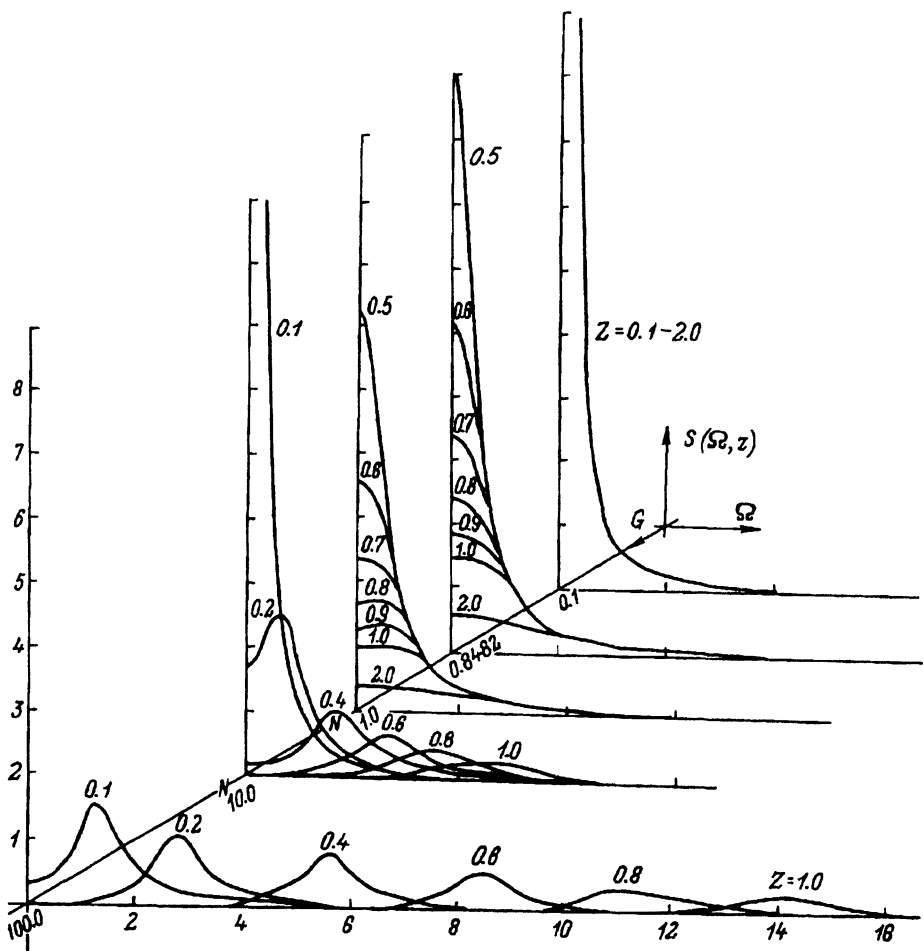


Рис. 1

$$(4G - 1) - \sqrt{(4G - 1)^2 - 1} < z^2 < (4G - 1) + \sqrt{(4G - 1)^2 - 1} \quad (8)$$

в спиновом генераторе существует колебательный процесс установления стационарной генерации с частотой колебаний p

$$p = \frac{\delta_1}{2} \sqrt{8Gz^2 - (1 + z^2)^2}. \quad (9)$$

Согласно (7) и (9), для произвольных значений G и z частоты Ω_{\max} и p различны, как и в радиотехническом генераторе с термистором [7].

Кривые, соответствующие границам неравенств (6) и (8), представлены на рис. 2. Кривая 1 на плоскости G, z в соответствии с неравенством (6) разделяет области апериодического (ниже кривой 1) и колебательного (выше кривой 1) переходных процессов. На той же плоскости G, z кривая 2 в соответствии с неравенством (8) разделяет области значений G и z , которым соответствуют спектральные характеристики $S_H(\Omega)$, монотонно убывающие (ниже кривой 2) и имеющие максимум (выше кривой 2).

Как видно из рис. 2, если значения G и z принадлежат области I (вертикальная штриховка), то в СГ переходной процесс апериодический и спектральная

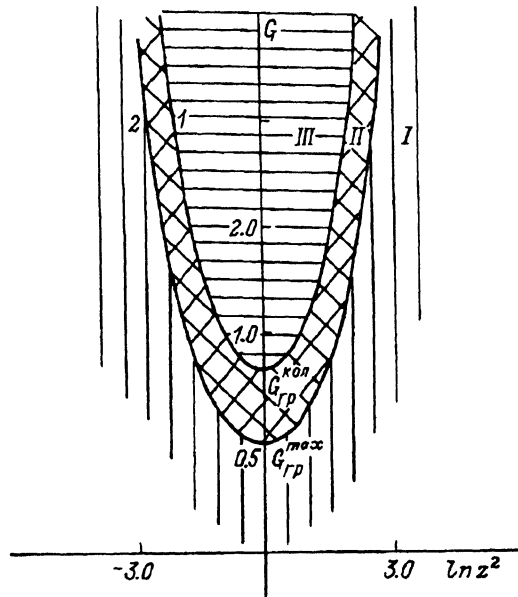


Рис. 2.

плотность флуктуаций амплитуды $S_{H-}(\Omega)$ монотонно убывает с ростом частоты Ω , так же как и в генераторах с безынерционной нелинейностью [8, 9]. Для значений параметров G и z , принадлежащих области III (горизонтальная штриховка), переходной процесс в спиновом генераторе колебательный и спектральная плотность флуктуаций амплитуды имеет максимум, что присуще, например, генератору с инерционной нелинейностью в виде термистора при достаточно большой инерционности нелинейного элемента [7–9], а также твердотельному лазеру [6].

Отметим, что существует область II (двойная штриховка) значений параметров G и z , когда при наличии колебательного переходного процесса установления детерминированного режима в спектре флуктуаций амплитуды нет максимума.

Несовпадение частот Ω_{\max} и p , а также условий появления максимума в спектре амплитудных флуктуаций и изменения вида переходного процесса характерно для спинового генератора с линейной широкополосной цепью обратной связи (см. часть I). В частном случае больших величин G : $G \gg (1 + z^2)^2/z^2$ частота $\Omega_{\max} = \delta_1 \sqrt{2Gz^2}$. Величина Ω_{\max} в этом случае совпадает с частотой p колебаний амплитуды в процессе установления стационарного режима. Равенство частот Ω_{\max} и p имеет место в твердотельном лазере [6]. Высота максимума при $G \gg (1 + z^2)^2/z^2$ равна

$$S_{H-}(\Omega_{\max}) = \frac{1}{\delta_1^2} \frac{S_{E_{III}}}{(1 + z^2)^2},$$

что в $2Gz^2 / (1 + z^2)^4$ раз превосходит значение спектральной плотности флуктуаций амплитуды при $\Omega = 0$.

Величину спектральной плотности флуктуаций амплитуды на нулевой частоте $S_{H-}(\Omega = 0)$ для произвольных G и z , как и в СГ с линейной широкополосной цепью обратной связи, можно связать с величиной производной стационарной амплитуды генерации H от коэффициента усиления K_1 цепи обратной связи, поскольку

$$S_{H\sim}(\Omega = 0) = \frac{1}{\delta_1^2} \left(\frac{\partial H_1}{\partial k_1} \frac{k_1}{H_1} \right)^2 = \frac{1}{\delta_1^2} \frac{(1+z^2)^2}{(2Gz)^2}. \quad (10)$$

Как видно из (10), в отличие от СГ с линейной широкополосной цепью обратной связи величина спектральной плотности флуктуаций амплитуды на нулевой частоте не обращается в нуль ни при каких G и z .

Список литературы

- [1] Померанцев Н.М., Рыжков В.М., Скроцкий Г.В. Физические основы квантовой магнитометрии. М.: Наука, 1972.
- [2] Умарходжаев Р.М. // Изв. вузов. Сер. Радиофизика. 1964. Т. 7. С. 1207–1210.
- [3] Ханин Я.И. Динамика квантовых генераторов . М.: Сов. радио, 1975. Т. 2.
- [4] Ораевский А.Н. Молекулярные генераторы. М.: Наука, 1964.
- [5] Малахов А.Н. Флуктуации в автоколебательных системах. М.: Наука, 1968.
- [6] Волновые и флуктуационные процессы в лазерах / Под ред. Ю.П.Климонтовича. М.: Наука, 1974.
- [7] Малахов А.Н., Сандлер М.С. // Изв. вузов. Сер. Радиофизика. 1969. Т. 12. № 1. С. 72–79.
- [8] Жаботинский М.Е. // ЖЭТФ. 1954. Т. 26. Вып. 6. С. 758–759.
- [9] Ланда П.С. Автоколебательные системы с конечным числом степеней свободы. М.: Наука, 1980.

Московский университет им. М.В.Ломоносова
Научно-исследовательский институт ядерной физики
Поступило в Редакцию
21 января 1991 г.